

units, which are clearly separated from each other as to the intensity and frequency of the occurring seismic activity. Further on the basis of more data, comprising the years from 1840 to 1930, he corroborates the accuracy of the previously outlined picture of the distribution of the seismic activity on the wider Greek area. Finally after critical examination of the conditions, on which the principle of the repetition of the seismic effects is valid, he draws the following conclusion: The seismic activity in any region neither excludes nor involves unconditionally the synchronous occurrence of a serious seismic activity in any one of the neighbouring or remoted region of the wider Greek area. Exactly the same is true for the temporary seismic calm. The dynamical conditions generally never take place on the wider Greek area in the same sequence.

## LITERATUR

1. GALANOPoulos, A. — Gleichzeitige Erdbebentätigkeit im Jonischen und Aegäischen Gebiet, *Gerl. Beitr. z. Geophys.* 57 Heft 2 (1941).
2. CRITIKOS, N. — Sur la sismicité des Cyclades et de la Crète. *Ann. de l'Observ. Nat. d'Athènes*, 9 (1926).
3. CRITIKOS, N. — Les phénomènes sismiques de 1926 survenus dans la région des plis dinotauriques. *Ann. de l'Observ. Nat. d'Athènes*, 10 (1929).
4. v. SEIDLITZ, W. — Discordanz und Orogenese der Gebirge am Mittelmeer. Berlin 1931.
5. SIEBERG, A. — Erdbebengeographie. Gutenberg's *Handbuch der Geophysik*, Bd. 4, Berlin 1932.
6. RICHTER, C. — An instrumental earthquake magnitude scale. *Bull. of the Seism. Soc. of America*, 25 (1935), No. 1.

**ΠΕΤΡΟΛΟΓΙΑ.** — Φαινόμενα μαγματικής διαφοροποιήσεως, παρατηρούμενα εἰς τὰ ὁφειολιθικὰ πετρώματα τῶν νοτιοδυτικῶν κλίτων τοῦ Σμόλικα, ὑπὸ Γεωργίου Παρασκευοπούλου\*. Ανεκοινώθη ὑπὸ τοῦ κ. Μ. Μητσοπούλου.

## I

Τὰ ἔκτεταμένα ὁφειολιθικὰ πετρώματα τὰ ὅποια συναντῶνται ἐντὸς τῶν σχιστοκερατολίθων τῆς ζώνης ἀνατολικῆς Ελλάδος, ἐσχηματίσθησαν, κατὰ τὰς σημερινὰς ἀντιλήψεις, μεταξύ ιουρασικοῦ - παλαιοκρητιδικοῦ. Ἐπὶ τῶν σχιστοκερατολιθικῶν καὶ ὁφειολιθικῶν τούτων πετρωμάτων ἐπικάθηνται ὑπερβατικῶς ἀνωκρητιδικοὶ ἀσβεστόλιθοι καὶ φλύσχης, συναντωμένων ἐνίστε καὶ αρκαλοπαγῶν μὲ διφειολιθικὰς αρκαλάς.

\* GEORGES PARASCEVOPoulos, Sur les phénomènes de différenciation magmatique observés sur les roches ophiolitiques des versants sud - ouest de Smolika (Pinde épirote, Grèce).

’Αφ' ἑτέρου τὰ στρώματα τῆς ζώνης ἀνατολικῆς Ἐλλάδος εἶναι ἐπωθημένα ἐπὶ τῶν στρωμάτων τῆς σειρᾶς Ὡλονοῦ-Πίνδου, λόγῳ δὲ τοῦ ὅτι εἰς τὰ τελευταῖα ταῦτα στρώματα οἱ ἀξονες τῶν πτυχῶν βορείως τῆς Τριγκιᾶς καὶ τοῦ Περιστερίου βυθίζονται ὑπὸ τὸν φλύσχην, ἀφέθη ὁ δρόμος ἐλεύθερος, κατὰ τὸν C. Renz<sup>1</sup>, διὰ μίαν σημαντικὴν εἰς τὴν περιοχὴν ταύτην πρὸς δυσμάς ἐπέκτασιν τῶν ὀφειολιθικῶν καὶ λοιπῶν πετρωμάτων τῆς ζώνης ἀνατολικῆς Ἐλλάδος. Κατ' αὐτὸν τὸν τρόπον κατέστη δυνατὴ ἡ ἐμφάνισις ὀφειολιθικῶν πετρωμάτων ἐπὶ τοῦ ἡπειροκατωλικοῦ φλύσκου μέχρι τῶν νοτιοδυτικῶν κλιτύων τοῦ Σμόλικα, ὅπου καὶ ἀναφέρεται ἡ παροῦσα μελέτη.

## II

Τὸν τὴν γενικὴν ὀνομασίαν ὀφειολιθικὰ πετρώματα τῆς ζώνης ἀνατολικῆς Ἐλλάδος, ἐννοοῦν οἱ ἀναφέροντες ταῦτα ἐρευνηταὶ τὰ ὑπερβασικὰ καὶ βασικὰ ἐκρηξιγενῆ τοιαῦτα, ἐκ τῶν ὁποίων οἱ περιδοτεῖται κατέχουν τὴν πρωτεύουσαν θέσιν. Μεταξὺ τῶν ἀσχοληθέντων μὲ αὐτὰ μελετητῶν, οἱ V. Hilber καὶ J. Ippen<sup>2</sup>, ἐνδιατρίβουν σχετικῶς ἐκτενέστερον, ἀλλὰ ἀπὸ καθαρῶς πετρολογικῆς ἐρεύνης περιορίζονται μόνον εἰς μίαν περιληπτικὴν μικροσκοπικὴν καὶ μικροσκοπικὴν ἐξέτασιν τούτων. Όμοιως καὶ ὁ C. Niculescu<sup>3</sup> δίδει μερικὰ στοιχεῖα, κυρίως ὅμως γεωλογικοῦ περιεχομένου.

Ἐκ τῶν μελετηθέντων ἐκρηξιγενῶν πετρωμάτων τῶν ΝΔ. κλιτύων τοῦ Σμόλικα, τὴν μεγαλυτέραν ἔξαπλωσιν κατέχουν οἱ περιδοτεῖται, ἐπειτα ἔρχονται ὑπὸ πολὺ μικροτέραν ἀναλογίαν οἱ γαββροδολερῖται καὶ τέλος εἰς λίαν περιωρισμένας μάζας οἱ γάββροι καὶ οἱ διορῖται. Τὰ πετρώματα ταῦτα ὅπου ἔρχονται εἰς ἐπαφὴν μετὰ τῶν πλακωδῶν ἀσβεστολίθων - κερατολίθων τῆς σειρᾶς ἀνατολικῆς Ἐλλάδος ἔχουν προκαλέσει φαινόμενα μεταμορφώσεως. Οἱ γάββροι συναντῶνται εἰς μικρὰς μάζας ἐντὸς τῶν περιδοτειῶν, εἰς τινας δὲ περιπτώσεις δίδουν τὴν εἰκόνα ἐγκλείσματος ἐντὸς αὐτῶν εἰς τὴν τελευταίαν ταύτην περίπτωσιν εἶναι χαρακτηριστικὴ ἡ ἀντίθεσις τῆς μέχρι μήκους 15 cm ἔξικνουμένης μεσοκρατικῆς ἔως λευκοκρατικῆς μάζας τῶν γάββρων καὶ τοῦ περιβάλλοντος αὐτὴν ὀλομελανοκρατικοῦ περιδοτίου. Οἱ

<sup>1</sup> C. RENZ, Die Tektonik der griechischen Gebirge. Πραγματεῖα Ἀκαδημίας Ἀθηνῶν, τόμ. 8, σ. 72. Ἐν Ἀθήναις 1940.

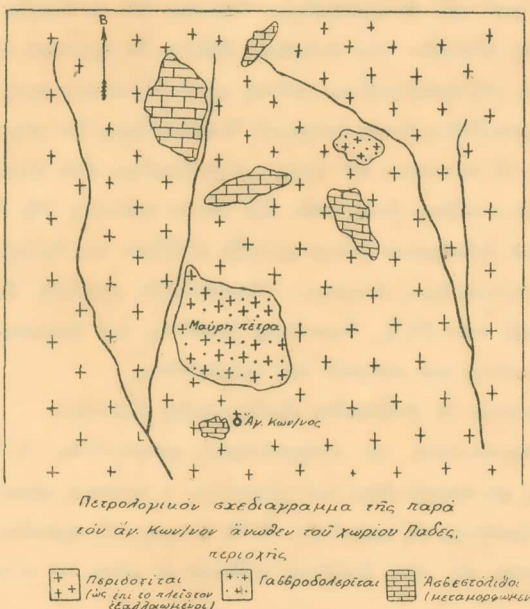
<sup>2</sup> V. HILBER, Geologische Reise in Nord-Griechenland und Türkisch-Epirus 1895, Sitz-Ber. d. kais. Akad. d. Wiss. in Wien, 105. Abt. I. 1896.— V. HILBER und J. A. IPPEN, Gesteine aus Nord-Griechenland und dessen türkischen Grenzländern, Neues Jahrbuch. B., B. XVIII, 1903.

<sup>3</sup> C. NICULESCU, Contribution à la géologie du système montagneux du Pindé épírote. Extrait du Bulletin de la section scientifique de l'Académie roumaine, Bucarest 1916.

γαββροδολερῖται ἐμφανίζονται όμοιως ἐντὸς τῶν περιδοτιτῶν, ἀλλὰ εἰς πλέον ἔκτεταμένας μάζας, τοὺς δὲ διορίτας συνήντησα εἰς τὰ ἄκρα τῶν γαββροδολεριτῶν.



Εἰς τὸ παρατιθέμενον κατωτέρῳ σχεδιάγραμμα δίδεται μία εἰκὼν τῆς ἐμφανίσεως τῶν ὄφειολίθων εἰς τὴν ἄνωθεν τοῦ χωρίου Πάδες κειμένην περιοχήν. Οἱ γάββροι καὶ οἱ διορῖται ὡς κατέχοντες ἀσημάντους ἔκτάσεις δὲν σημειώνυται εἰς τὸ σχεδιάγραμμα. Παρατίθεται ἔτι ἐνταῦθα μικρὸς χάρτης διὰ τὸν προσανατολισμὸν τοῦ ἀναγνώστου



Ἡ γεωλογικὴ αὕτη ἐμφάνισις τῶν ἀνωτέρω ἀναφερομένων πετρωμάτων, ὁδηγεῖ εἰς τὴν παραδοχὴν τῆς ἐκ τοῦ αὐτοῦ μάγματος προελεύσεως τούτων συνεπείᾳ μαγματικῆς διαφοροποιήσεως ἐπιτευχθείσης διὰ ηλασματικῆς κρυσταλλώσεως. "Οτι

πρόκειται περὶ διαφοροποιήσεως προκύπτει ἐκτὸς τῆς ἀνωτέρω σημειουμένης γεωλογικῆς συσχετίσεως τῶν διαφόρων κατηγοριῶν τῶν πετρωμάτων, καὶ ἐκ τῆς ὀρυκτολογικῆς αὐτῶν συστάσεως, ἡ ὁποία ἀπὸ τῶν περιδοτιτῶν μέχρι τῶν διοριτῶν μεταβάλλεται, ὡς κατωτέρω ἐκτίθεται, κατὰ τὸν κανονικὸν τρόπον ποὺ παρέχεται ἐκ τῆς κρυσταλλώσεως ἐνδὲ συνεχῶς διαφοροποιουμένου ὑπερβασικοῦ μάγματος.

Ἡ ὀρυκτολογικὴ σύστασις τῶν διαφόρων πετρωμάτων εἰναι ἡ ἀκόλουθος:

1. Ἀστριοῦχος περιδοτίης (λερξόλιθος).—<sup>1</sup>Αφθονος ὀλιβίνης, βρονζίτης, διαλλαγῆς καὶ ἐλαχίστοι ἀστριοι μὲ περιεκτικότητα εἰς An 85 - 95%, ἐπουσιωδῶς δὲ χρωμίτης καὶ σιδηροπυρίτης. Οἱ περιδοτῖται ἔχουν ὑποστῆ εἰς πολλὰς περιπτώσεις καθολικὴν σερπεντινίωσιν ἢ καὶ ἔχουν μεταπέσει εἰς ἄργιλλον.

2. Ὁλιβινικὸς γάβριδος (τροκτόλιθος).—<sup>2</sup>Αστριοι μὲ περιεκτικότητα εἰς An 70 - 75% καὶ εἰς ἐλαχίστας περιπτώσεις 60%, ὀλιβίνης, διαλλαγῆς καὶ ἐπουσιωδῶς σιδηροπυρίτης καὶ μαγνητίτης. Τῆς κατηγορίας ταύτης ὑπάρχουν καὶ τύποι ἐνδιάμεσοι πρὸς τοὺς ἀστριούχους περιδοτίτας καὶ τοὺς γαβριδολερίτας.

3. Διαλλαγικὸς κεροστιλβικὸς γαβριδοδολερίτης.—Διαλλαγῆς, κεροστίλβη βασαλτική, ἀστριοι μὲ περιεκτικότητα εἰς An 30 - 35% καὶ ἔνα μικρὸν ποσοστὸν 45% An, ἐπουσιωδῶς δὲ μαγνητίτης, σιδηροπυρίτης καὶ πιθανὸν καὶ Ἰλμενίτης. Ἡ μελέτη τοῦ ίστοῦ τοῦ πετρώματος καὶ τῶν ἐγκλεισμάτων δεικνύει ὅτι ἡ ἔναρξις τῆς κρυσταλλώσεως ἐγένετο ἀπὸ τὴν πλευρὰν τῶν ἀστρίων, ἔπειτα δὲ ἦρχισκαν κρυσταλλούμενα καὶ τὰ φεμικὰ συστατικά, τῆς παραλλήλου ταύτης κρυσταλλώσεως συνεχισθείσης μέχρι τέλους (ἐγκλεισματα κεροστίλβης ἐντὸς ἀστρίων). Ἐπειδὴ ὅμως δὲν παρατηρεῖται τυπικὸς ὀφειτικὸς ίστος καὶ τὸ πέτρωμα ἀφ' ἑτέρου ἀποτελεῖται ἀπὸ ὑλικὸν πλέον ὀδρομερές ἀπὸ τὸ ὑλικὸν τῶν συνήθων δολεριτῶν, διὰ τοῦτο προτιμῶ τὴν ὄνομασίαν γαβριδολερίτης, δηλαδὴ ἔνα ἐνδιάμεσον τύπον μεταξὺ γάβρηου καὶ δολερίτου (διαβάσου).

4. Κεροστιλβικὸς βιοτιτοῦχος διορίτης.—Κεροστίλβη πρασίνη, ἀστριοι μὲ περιεκτικότητα εἰς An πέριξ τῶν 20%, Ἰλμενίτης, βιοτίτης καὶ ἐπουσιωδῶς ἀπατίτης, ζιρκόνιον, ρουτίλιον τιτανίτης καὶ πιθανὸν καὶ μαγνητίτης.

Ομοίως παρατηροῦνται αἱ ἀκόλουθοι ἔξαλλοιώσεις ὀρυκτῶν:

Ο διλιβίνης εἰς σερπεντίνην μὲ σχηματισμὸν μαγνητίτου, ὁ διαλλαγῆς καὶ ἡ βασαλτικὴ κεροστίλβη εἰς σερπεντίνην καὶ χλωρίτην, ἡ πρασίνη κεροστίλβη εἰς χλωρίτην καὶ ἐπίδοτον, ὁ Ἰλμενίτης εἰς ρουτίλιον, οἱ δὲ ἀστριοι εἰς σερικίτην καὶ ἀλβίτην. ὁ ἀλβίτης ποὺ ἐμφανίζεται εἰς τοὺς διορίτας πιθανὸν ἐν μέρει νὰ εἴναι πρωτογενής.

### III

Ἡ μεταβολὴ τῆς κυρίας ὀρυκτολογικῆς συστάσεως ἀπὸ τοῦ περιδοτίου εἰς τὸν διορίτην, παρεχομένη σύνοπτικῶς εἰς τὸν κατωτέρω πίνακα, εὑρίσκεται ἐν ἀρμονίᾳ μὲ

τὰ δεδομένα τῆς συνθετικῆς ἐρεύνης ἐπὶ τῆς κρυσταλλώσεως τῶν διαφόρων δξειδίων (ξηρὰ τήγματα), καθὼς καὶ μὲ τὰ ἐν τῇ φύσει παρατηρούμενα. Προκειμένου δὲ νὰ παρακολουθήσωμεν τὴν ἔξτιξιν τῆς διαφοροποιήσεως τοῦ ἀρχικοῦ ὑπερβασικοῦ μάγματος, δίδομεν τὰς χημικὰς ἀναλύσεις (γενομένας ἀπὸ τὸν κ. Θ. Μουραμπᾶν) τεσσάρων ἀντιπροσωπευτικῶν τύπων τῶν μελετωμένων ὀφειολίθων, τὰς ἀντιστοίχους δυνητικὰς ὄρυκτολογικὰς συστάσεις, τὰς μαγματικὰς παραμέτρους καὶ τὸν χημισμὸν κατὰ Niggli.

ΚΥΡΙΑ ΟΡΥΚΤΟΛΟΓΙΚΗ ΣΥΣΤΑΣΙΣ		
Πέτρωμα	Φεμικὰ συστατικὰ	Σαλικὰ συστατικὰ
Περιδοτίτης	όλιβίνης, διαλλαγής, βροντίτης	άνορθίτης
Όλιβ. γάβρος	όλιβίνης, διαλλαγής	βιτοβρίτης, λαβραδόριον
Γαβροδοδοερίτης	διαλλαγής, κεροστ. βασαλτική	άνδεσίνης ἥως ολιγόκλαστον
Διορίτης	κεροστ. κοινή, βιοτίτης	όλιγόκλ. πιθανὸν καὶ ἀλβίτης

Ο κατὰ πρῶτον κρυσταλλώθεις ὀλιβίνης καὶ ἐν συνεχείᾳ ὁ διαλλαγής ἀπερρόφησαν ἐκ τοῦ μάγματος μεγάλην ποσότητα  $MgO$ , τοῦ ὅποίου συνεπῶς ἡ ἀναλογία εἰς τὸ μαγματικὸν ὑπόλοιπον συνεχῶς ἡλαττοῦτο ὅταν τέλος ἡ κρυστάλλωσις ἔφθασεν εἰς τὰ ὅρια τῆς καμπύλης μονοκλινῶν-ρομβικῶν πυροξένων, ἡρχισε καὶ ὁ σχηματισμὸς τοῦ βροντίτου. Οἱ κατ' αὐτὸν τὸν τρόπον σχηματισθέντες κρύσταλλοι τοῦ ὀλιβίνου καὶ τῶν πυροξένων καθὼς καὶ οἱ κρύσταλλοι τοῦ ἐλαχίστου ἀνορθίτου, τοῦ ὅποίου ἡ κρυστάλλωσις ἐγένετο βραδύτερον, κατώρθωσαν ν' ἀποχωρισθοῦν τοῦ ὑπολοίπου μάγματος, μὲ τὸ ὅποιον δὲν εὑρίσκοντο πλέον εἰς ίσορροπίαν ἀποκλειομένης περαιτέρω τῆς δράσεως μεταξὺ στερεᾶς - ὑγρᾶς φάσεως.

Η μεγάλη ἀπορρόφησις τοῦ  $MgO$  ἐπέφερε ἀνακατάταξιν τῶν ἀναλογιῶν τῶν διαφόρων δξειδίων εἰς τὸ τοιουτοτρόπως διαφοροποιηθὲν μάγμα, ἐκ τοῦ ὅποίου ἡρχισεν καὶ πάλιν ἡ κρυστάλλωσις ὀλιβίνου ἐκ τῶν φεμικῶν συστατικῶν, ἐνῷ ἐκ τῆς σειρᾶς τῶν ἀστρίων τὰ συνέχῶς κρυσταλλούμενα πλαγιοκλαστα καθίστανται πτωχότερα εἰς μόρια ἀνορθίτου. Η σύστασις τοῦ νέου μάγματος δὲν ἐπέτρεψεν εἰσοδον εἰς τὸ πεδίον τῶν ρομβικῶν πυροξένων, ἀλλὰ διὰ περαιτέρω διαφοροποιήσεως, πραγματοποιηθεῖσης διὰ τοῦ ἀποχωρισμοῦ ἐκ τοῦ μάγματος τοῦ ὀλιβίνου-διαλλαγοῦς ἀφ' ἐνὸς καὶ τῶν κρυσταλλωθέντων πλαγιοκλαστῶν ἀφ' ἑτέρου, προέκυψε μαγματικὸν ὑπόλοιπον τοιαύτης συστάσεως ὥστε ἡ κρυστάλλωσις ν' ἀρχίσῃ τώρα ἀπ' εὐθείας ἐκ τῶν μονοκλινῶν πυροξένων ἢ τούλαχιστον νὰ μὴν εἶναι δυνατὴ ίσορροπία ὀλιβίνου-μάγματος. Τοιουτοτρόπως φθάνομεν εἰς τοὺς γαβροδολερίτας μὲ ἐμφάνισιν

## ΠΙΝΑΞ Ι.

Χημικαὶ ἀναλύσεις *					Δυνητικαὶ δρυκτολογικαὶ συστάσεις					
	1	2	3	4			1	2	3	4
SiO <sub>2</sub>	39,30	40,00	44,56	44,70	ap		0,67	0,34	0,67	
TiO <sub>2</sub>	0,15	0,10	0,76	1,00	il	0,30	0,15	1,37	1,82	
Fe <sub>2</sub> O <sub>3</sub>	0,40	0,55	0,35	2,12	mt	0,46	0,70	0,46	3,01	
FeO	8,30	3,00	10,61	9,90	or			3,93	10,57	
Al <sub>2</sub> O <sub>3</sub>	3,30	22,20	15,16	19,60	lc		1,75			
CaO	2,46	14,00	14,85	9,70	ab			2,23	12,10	
MgO	35,00	11,30	9,58	6,67	ne		3,41	0,07	4,28	
K <sub>2</sub> O	ἰχνη	0,54	0,36	1,82	an	8,90	55,63	37,55	37,27	
Na <sub>2</sub> O	ἰχνη	0,76	0,60	2,42	di	2,65	8,14	19,01	7,56	
MnO	0,01	0,01	0,08	0,02	hy	17,07				
P <sub>2</sub> O <sub>5</sub>	0,01	0,31	0,15	0,30	O1	59,43	20,84	20,26	20,39	
-H <sub>2</sub> O	0,11	0,12	0,10	0,10	2CaO.SiO <sub>2</sub>		0,59			
+H <sub>2</sub> O	10,00	6,60	2,80	1,62	-H <sub>2</sub> O	0,11	0,12	0,10	0,10	
CO <sub>2</sub>	—	—	—	—	+H <sub>2</sub> O	10,00	6,60	2,80	1,62	
	99,04	99,49	99,96	99,97		98,92	98,60	98,12	99,39	

κεροστίλβης καὶ κρυστάλλωσιν πλαγιοκλάστων μέχρι τοῦ δλιγοκλάστου. Ή μεσολάβησις τοῦ γαββριοῦ μάγματος προτοῦ γίνη μετάβασις εἰς τὸ γαββροδολεριτικόν, δὲν παρατηρεῖται εἰς πολλὰς περιπτώσεις.

Τέλος διὰ διαχωρισμοῦ περαιτέρω στερεᾶς - ύγρᾶς φάσεως, τὸ νέον μαγματικὸν ὑπόλοιπον ἔδωσεν, μὴ δυνατῆς οὕσης πλέον τῆς εὐστάθείας πυροξένων - μάγματος, ἐκ τῶν φεμικῶν συστατικῶν OH/χα δρυκτά, κεροστίλβην καὶ βιοτίτην, ἐκ δὲ τῶν δξεῖνων πλέον πλαγιοκλάστων δλιγόκλαστον καὶ πιθανὸν καὶ ἀλβίτην.

\* Οπου ὑπάρχει ἀφθονον +H<sub>2</sub>O τοῦτο δφείλεται εἰς τὸν σερπεντίνην.

## ΠΙΝΑΞ ΙΙ.

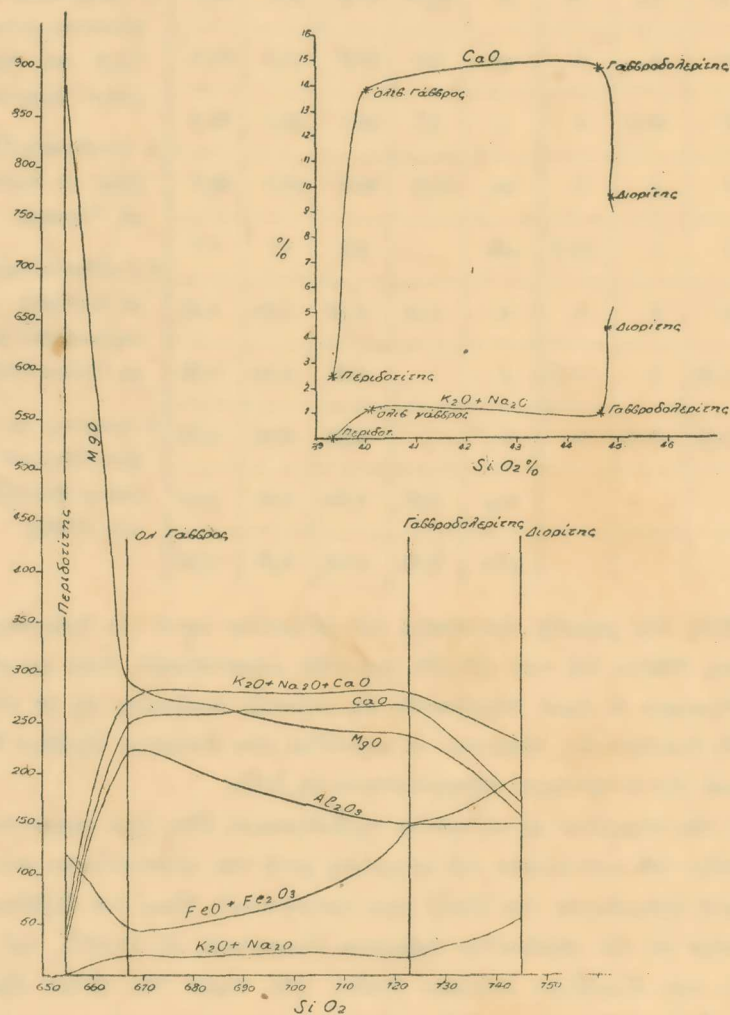
Μαγματικαὶ παράμετροι					Χημικά μεγέθη κατὰ Niggli					
	1	2	3	4		1	2	3	4	
P (IV)V	II'	III	II'		si	63,81	81,8	88,1	99,7	1. Ἀστροιοῦχος περιδοτίτης μὲ διαλλαγῆ καὶ βροντίτην. "Ἄρματα.
Q'	5	5'	5	5'	al	3,0	26,8	18,2	25,6	2. Ὁλιβινικὸς Γάβρος μὲ διαλλαγῆ. "Ἄρματα.
r		'5	(4) 5	4	c	4,1	30,7	32,4	23,0	3. Γαββροδολερίτης μὲ διαλλαγῆ καὶ κεροστήλβην. Μαύρη Πέτρα, Πάδες.
s		'4	4	'4	fm	92,9	40,3	47,7	43,7	4. Διορίτης μὲ κεροστήλβην καὶ βιστίτην. Μαύρη Πέτρα, Πάδες.
h	1	'1	1	(1) 2	alk		2,2	1,7	7,7	
k	4	4	3	4	ti	0,18	0,12	1,09	1,60	
l	1	1 (2)	2	1 (2)	p		0,20	0,12	0,26	
m	1 (2)	1 (2)	2 (3)	'3	k		0,33	0,28	0,32	
					mg	0,87	0,85	0,61	0,42	
					c/fm	0,04	0,76	0,67	0,52	

Ἡ μεταβολὴ τῆς χημικῆς συστάσεως τοῦ μάγματος κατὰ τὴν διάρκειαν τῆς διαφοροποιήσεως, δίδεται διὰ τῶν κάτωθι γραφικῶν παραστάσεων, ὅπου εἰς μὲν τὸ πρῶτον σχεδιάγραμμα αἱ τιμαὶ ἀναφέρονται εἰς μοριακὰς ἀναλογίας, εἰς δὲ τὸ δεύτερον (δεξιὰ) εἰς ἑκατοστιαῖς τοιαύταις αἱ καμπύλαι τῶν διαφόρων δίδουν ταῦτοχρόνως καὶ τὴν ἀντίστοιχον περιεκτικότητα εἰς  $\text{SiO}_2$ .

Ἡ μορφὴ τῶν καμπύλων εἰς τὸ πρῶτον σχεδιάγραμμα δίδει λίαν παραστατικῶς τὴν ἀνακατάταξιν τῶν συστατικῶν τοῦ μάγματος μετὰ τὴν κρυστάλλωσιν τοῦ περιδοτίτου· ἡ ὑψηλὴ ἀπορρόφησις τοῦ  $\text{MgO}$  πρὸς σχηματισμὸν ἴδιως τοῦ ὄλιβίνου, τοῦ ὁποίου ἡ ἀναλογία εἰς τὸν περιδοτίτην ἀνέρχεται θεωρητικῶς εἰς 59,43 %, καὶ κατὰ δεύτερον λόγον τῶν πυροξένων, ἐπέφερεν ἀνοδὸν τῶν τιμῶν τῶν ἄλλων ὀξειδίων ἔξαιρέσει τοῦ  $\text{FeO}$  τοῦ ὁποίου ἐπῆλθεν ἐλάττωσις συνεπείᾳ κυρίως τῆς συμμετοχῆς τοῦ εἰς τὸν σχηματισμὸν τοῦ ὄλιβίνου. Ἀφ' ἑτέρου ἡ δυσανάλογος χρησιμοποίησις  $\text{MgO}$  καὶ  $\text{FeO}$  κατὰ τὸν ἀποχωρισμὸν τοῦ περιδοτίτου, σημαίνει ὅτι εἰς τὸ μόριον τοῦ ὄλιβίνου ὁ φορστερίτης συμμετέχει εἰς πολὺ μεγαλυτέραν ἀναλογίαν ἀπὸ τὸν φαϋαλίτην.

Μεταξὺ τοῦ γαββρικοῦ καὶ τοῦ γαββροδολεριτικοῦ μάγματος αἱ σημαντικώτεραι

διαφοραὶ ἐμφανίζονται εἰς τὰς καμπύλας τῶν  $Al_2O_3$  καὶ  $FeO + Fe_2O_3$ . Άι διαφοραὶ αὖται προέρχονται ἐκ τοῦ γεγονότος ὅτι κατὰ τὴν κρυστάλλωσιν τοῦ ὀλιβινικοῦ γάλβου βρου διὰ τὸ σχηματισμὸν τῶν βασικῶν πλαγιοκλάστων βιτοβνίτου - λαβραδορίου - κατηναλώθη σημαντικὴ ποσότης  $Al_2O_3$  ἡ ἐλάττωσις αὗτη συνδυαζομένη μὲ τὴν



συνεχιζομένην πτῶσιν τοῦ  $MgO$  διὰ τὸν σχηματισμὸν ὀλιβίνου - διαλλαγοῦς, εἶχον ὡς ἀποτέλεσμα τὴν ἔμμεσον αὔξησιν τῶν  $FeO + Fe_2O_3$  ἐν τῇ ἀναλογίᾳ τῶν ὀξειδίων τοῦ μαγματικοῦ ὑπολοίπου, καίτοι ἔνα μικρὸν μέρος τοῦ  $FeO$  κατηναλώθη διὰ τὸν σχηματισμὸν τοῦ ὀλιβίνου.

Ἡ μεγάλη ἐλάττωσις τῆς ἀναλογίας  $MgO$  καὶ  $CaO$  κατὰ τὴν κρυστάλλωσιν

τοῦ γαββροδολερίτου διὰ τὸν σχηματισμὸν διαλλαγοῦς, κεροστίλβης καὶ πλαγιοκλάστων, μὲ  $\text{Fe}_2\text{O}_3$  αὐξησιν τῆς τιμῆς τῶν  $\text{FeO} + \text{Fe}_2\text{O}_3$ , εἶχεν ὡς ἀποτέλεσμα τὴν συγκέντρωσιν τῶν καμπύλων εἰς τὸ διοριτικὸν μάγμα, ἐνῷ ἀφ' ἑτέρου ἢ ἄνθρακος τῆς καμπύλης  $\text{Na}_2\text{O} + \text{K}_2\text{O}$  χαρακτηρίζει τὴν κρυστάλλωσιν λίαν δξῖνων πλαγιοκλάστων.

## IV

Ἡ ἀνωτέρω ἐκτεθεῖσα μαγματικὴ διαφοροποίησις εἶναι μία περίπτωσις, ἥτις παρετηρήθη εἰς τοὺς ὀφειολίθους τοῦ νοτιοδυτικοῦ Σμόλικα. Ἡ ἔλλειψις αὗτη τῆς ἰσορροπίας μεταξὺ στερεᾶς φάσεως καὶ μάγματος πιθανὸν νὰ ὀφείλεται εἰς τὴν ἔλλειψιν διαλυτικῆς-διαχυτικῆς ικανότητος (Diffusionsmöglichkeit) τοῦ μάγματος, ὡς ἐκ τῆς φύσεως αὐτοῦ, ὥστε ἀπορρόφησις ἀποχωριζομένων κρυστάλλων ἢ μεταβολὴ τῆς συστάσεως κρυσταλλωθέντων ἰσομόρφων παραμίζεων νὰ μὴν καθίστατο δυνατή. Ἐὰν λάβῃ τις ὑπὸ ὅψιν ὅτι οἱ περιδοτίται μὲ τοὺς συνοδεύοντας αὐτοὺς γάββους καὶ διαβάσας, ἐμφανίζονται καὶ εἰς ἄλλα σημεῖα τῆς ζώνης ἀνατολικῆς Ἑλλάδος, θὰ πρέπῃ νὰ δεχθῇ ὅτι ἡ μαγματικὴ διαφοροποίησις εἶναι διαδεδομένη μεταξὺ τῶν ὑπερβασικῶν ἐκρήξεων τῆς ζώνης ἀνατολικῆς Ἑλλάδος. Οἱ Hilber ἀναφέρει εἰς τὴν περιοχὴν τοῦ Μετσόβου, ὃπου ἐμφανίζονται ὁμοίως ὀφειόλιθοι, καὶ παρουσίαν νεφελινιτούχων ἐκρηγνεύοντων πετρωμάτων, τὰ ὅποια ὀνομάζει νεφελινοσυητοπορφύρας, νεφελινικοὺς τεφρίτας κ.τ.λ. Ἀσφαλῶς δὲν δύναται τις χωρὶς ἐπιτόπιον παρατήρησιν διὰ τὴν ἐξακρίβωσιν τῆς γεωλογικῆς θέσεως τῶν πετρωμάτων τούτων σχετικῶς μὲ τοὺς ὀφειολίθους, ἐφ' ὅσον ὁ Hilber οὐδὲν ἀναφέρει ἐπ' αὐτοῦ, ν' ἀποφανθῇ, ἐὰν εἶναι προϊόντα μαγματικῆς διαφοροποιήσεως. Εἶναι ἐνδιαφέρον νὰ ἐξακριβωθῇ, ἐὰν ἡ διαφοροποίησις τοῦ ὑπερβασικοῦ μάγματος ἔδωσεν τελικὰ προϊόντα οὐχὶ ἀσβεστοαλκαλιούχα, ὅπως εἰς τὴν περίπτωσιν τοῦ νοτιοδυτικοῦ Σμόλικα, ἀλλὰ καὶ ἀλκαλιούχα τοιαῦτα.

Φαίνεται πάντως ὅτι ἡ ἔντασις καθὼς καὶ τὰ προϊόντα τῆς διαφοροποιήσεως διαφέρουν εἰς τὰς διαφέρους περιπτώσεις. Κατὰ κανόνα ἡ διὰ κλασματικῆς κρυσταλλώσεως διαφοροποίησις δίδει μαγματικὸν ὑπόλοιπον ἐμπλουτισμένον εἰς  $\text{SiO}_2$ , ἀλκαλίας καὶ ἀργιλίου. Ἐὰν τὰ τελικὰ προϊόντα θὰ εἶναι πλούσια εἰς νεφελίνην ἢ πλούσια εἰς  $\text{SiO}_2$  ἢ θὰ ἔχουν μίαν τραχειτικὴν σύστασιν, αὐτὸς ἐξαρτᾶται ἀπὸ τὴν σύστασιν τοῦ ἀρχικοῦ μάγματος καθὼς καὶ ἀπὸ τὴν δυνατότητα αὐτοῦ νὰ εὑρίσκεται ἢ μὴ εἰς ἰσορροπίαν μὲ τὴν στερεὰν φάσιν· ἀς σημειωθῇ δὲ ἐπὶ τοῦ προκειμένου ὅτι πολὺ μικρὰ διαφορὰ εἰς τὴν σύστασιν τοῦ ἀρχικοῦ μάγματος, εἶναι δυνατὸν νὰ δώσῃ τελείως διαφορετικὸν τελικὸν προϊόν.



Εἰκ. 1.—Περιδοτίτης. Κρύσταλλος βροντίτου, διασχιζόμενος ἀπὸ δευτερογενῆ φλεβίδαι σερπεντίνου. Nicols + ( $\times 33$ )

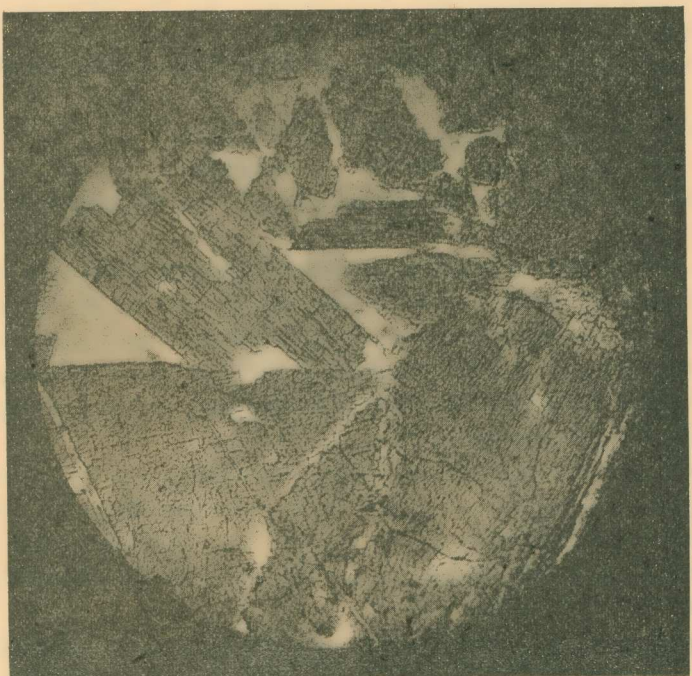


Εἰκ. 2.—'Ολιβινικός Γάρβρος. 'Ολιβίνης μὲ δευτερογενῆ φλεβίδαια σερπεντίνων, ἐν μέσῳ λαστρίων. Nicols + ( $\times 33$ ).



Εἰν. 3.—Γαλβροδολερίτης. Εἰς τὸ κέντρον διαχρίνεται ἔγκλεισμα  
ἀστρίου, σερικιτιωμένον, ἐντὸς μεγάλου κρυστάλλου διαλλαγοῦς.

Nicols || (X33).



Εἰκ. 4.—Διορίτης Μεγάλοι κρύσταλλοι πρασίνης κεροστίλβης, μεταξύ τῶν δύο λόγω εἶναι ἐσφημώμένοι κρύσταλλοι ἀστρίων. Nicols|| (X33).

## RÉSUMÉ

Dans cette étude ont été examinés les phénomènes de la différenciation magmatique, observés sur les roches ophiolitiques des versants sud-ouest de Smolika (Pinde épirote). Les roches en question sont des péridotites feldspathifères (Iherzolites), des gabbros à olivine (troctolites), des gabro-dolérites et des diorites. Dans les péridotites, qui sont le plus étendus, affleurent les gabro-dolérites en masses restreintes, et les gabbros qui occupent des espaces bien plus limités donnant quelquefois l'image d'enclaves dans les péridotites. Les diorites ont été rencontrés aux extrémités des gabro-dolérites.

La constitution minéralogique essentielle des roches ci-dessus est la suivante:

Péridotites. Olivine, diallage, bronzite et anorthite.

Gabbros. Olivine, diallage, bytownite et labrador.

Gabro-dolérites. Diallage, hornblende basaltique et andésine jusqu'à oligoclase.

Diorites. Hornblende commune, biotite, oligoclase peut-être aussi albite. L'affleurement géologique des roches, ainsi que le changement de la constitution minéralogique depuis les péridotites jusqu'aux diorites, voici les éléments qui ont conduit l'auteur à la conception que tous ces types sont les dérivés de la différenciation du magma primitif basique, séparés par cristallisation fractionnée.

Ensuite l'auteur explique les raisons du changement de la composition minéralogique essentielle au cours de la différenciation. De plus il donne les courbes du changement de la composition chimique arrivé en même temps, dont il explique la cause en liaison avec le changement de la constitution minéralogique.

Dans le texte se trouve un tableau des compositions minéralogiques virtuelles, des paramètres magmatiques, ainsi que des valeurs moléculaires d'après Niggli, concernant quatre types représentatifs des roches étudiées

---

**ΓΕΩΛΟΓΙΑ.** — Ἡ γεωλογικὴ ἡλικία τοῦ Νεογενοῦς τῆς Πειραιᾶς κερ-  
σονήσου καὶ Παλαιοῦ Φαλήρου-Βουλιαγμένης, ὑπὸ Σ. Ν. Χαραλαμ-  
πάκη\*. Ἀνεκουνώθη ὑπὸ τοῦ κ. Μ. Κ. Μητσοπούλου.

Εἰς τὴν Ἀττικὴν τὸ θαλάσσιον Νεογενὲς ἀπαντᾷ εἰς δύο περιοχάς:

1. Εἰς τὴν ἀνατολικὴν παραλίαν τῆς Ἀττικῆς, βορείως καὶ νοτίως τῆς Ραφήνης, ἔνθα κατὰ τὸν καθηγητὴν Μ. Κ. Μητσόπουλον, οἱ σχηματισμοὶ οὗτοι ἀνήκουν εἰς τὸ κατώτερον Πλειόκαινον.

\* S. CHARALAMBAKIS, Sur l'âge des formations néogènes des environs d'Athènes.